第V部 3Dモーション摩擦測定機を用いたコンクリート舗装のすべり抵抗性に関する基礎研究

鹿島道路 (株)正会員 〇佐藤 文洋,横田 慎也,鎌田 修住友大阪セメント (株)遠藤 大樹,安久 憲一 阪神高速技術 (株)

1. はじめに

コンクリート舗装は、アスファルト舗装に比べ耐久性が高く、長寿命化舗装の観点からも近年注目を集めている。コンクリート舗装は、これまで主にトンネル部での適用実績が多いが、最近ではトンネル部におけるコンクリート舗装においてすべり抵抗性の低下が報告されている¹⁾。すべり抵抗性を測定する方法としては、大型の装置ではすべり測定車、小型のものではDFテスタ(以下、DFT)やポータブル・スキッド・レジスタンステスタ(以下、PSRT)等が挙げられるが、小型の測定機でも40cm程度の板状供試体が必要である。そこで、筆者らはコア程度の大きさで計測が可能で、汎用的かつ簡易に評価できる3Dモーション摩擦測定機を用いてすべり抵抗性を測定した。本研究は、本測定機とDFTおよびPSRTから得られるすべり抵抗性との関係を確認するとと

もに、実路から採取したコンクリートコアを用いた評価を行った。

2. 試験方法

2-1. 測定機概要と測定方法

本研究では、写真-1 に示す 3D モーション摩擦測定機 "ハンディーラブテスター" (計器型式: TL701, (㈱トリニティーラボ製)を使用した. 本測定機は角度センサが内蔵されており、顔、腕などの人体の表面部から自動車のハンドルなど湾曲部の摩擦性も測定可能である. また、本測定機は供試体に触れる接触子を交換でき、本研究では写真-2に示す指先を模擬した触覚接触子、DFT のゴムスライダーを装着したゴム接触子の2種類で測定を実施した.

測定方法は**写真-1** に示す測定ユニットを測定面に対して垂直(荷重5.0N程度)に押しつけ、そのまま水平方向に移動させた際の動摩擦係数を測定した。測定条件は、測定範囲を 5cm 程度、サンプリング速度は1msec、サンプリングは3秒間とし、動摩擦係数を各 50 回測定し、平均値(以下、μAve.)を求めた。

2-2. すべり抵抗性の相関確認

既存の測定機との相関を確認するため、DFT および PSRT との比較を行った. 基準面は、写真-3 に示す 50cm 角のガラス板とし、通常ガラス (フロートガラス) と表面にサンドブラスト加工を実施したすりガラス、計 2 種類を用いた. 計測は乾燥状態および湿潤状態で実施した. なお、表面形状を確認するため、顕微鏡を用いた表面観察も実施した.

2-3. コンクリートコアを用いての適用性確認

本測定機の実際のコンクリート舗装への適用性を確認するため、 コンクリートコア(φ10cm)を用いた測定を行った. コアは構内道路 より採取した. コア採取場所の概要を表-1 に示す.



写真-1 3 Dモーション摩擦測定機





写真-2 各種接触子



写真-3 ガラス面測定状況 表-1 コア採取場所概要

No.	採取位置	表面の触感	μ60	BPN
1	屋根あり部	ツルツルした 平滑面	0.10	26
2	屋根あり部 (雨の吹込みあり)	ザラザラし, 少し凹凸がある	0.25	43
3	屋根無し部	骨材がすり磨かれ, ツルツルしている	0.26	43
4	屋根無し部	ザラザラし, 少し平滑な面	0.36	62

Fumihiro SATO, Shinya YOKOTA, Osamu KAMADA, Taiju ENDO, Kenichi YASUHISA, and Yoshio HISARI fsato@kajimaroad.co.jp

本コアは採取前に現地で DFT および PSRT によるすべり抵抗を測定しており、本測定機から得られる μ Ave. との関係を調べた. さらにコアは酸処理を行い、処理前後の μ Ave. の変化も確認した.

3. 試験結果

3-1. すべり抵抗性の相関確認

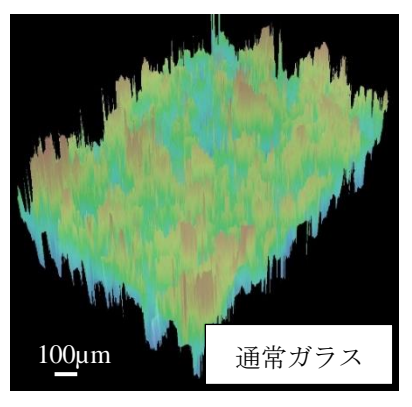
表-2 に、各測定機のガラス面でのすべり抵 抗性測定結果を示す. 通常ガラスでは, すべ ての測定機で乾燥状態から湿潤状態に推移す ると、一様にすべり抵抗性は低下した. しか し、すりガラスにおいては DFT および PSRT は湿潤状態にするとすべり抵抗性が低下する のに対し, ハンディーラブテスターでは触 覚・ゴム接触子ともに μAve.が上昇するのが確 認された. ここでガラス面の表面形状を写真-4に示す. すりガラスは通常ガラスに比べ表面 の凹凸が非常に多く, 凹凸の高低差も, 通常 ガラスは 200~250μm に対し、すりガラスは 300~400µm と高低差も増加している. ハンデ ィーラブテスターは DFT・PSRT に比べ動摩擦 係数測定時の速度は非常に遅いものとなってい る. そのため、接触子とすりガラス面との間に 水膜が形成されにくく、DFT・PSRT とは異なる 傾向になったと考えられる.

3-2. コンクリートコアにおける測定結果

図-1 にコンクリートコアによる測定結果を示す. 先ず,酸処理前の結果と μ 60, BPN とを比較する. 屋根あり部である No.1 と 2 を比較すると, No.2 の μ Ave.の方が何れの接触子でも大きい結果となっている. これは, μ 60, BPN の傾向と同じである. 一方,屋根なし部である No.3 と 4 とを比較すると No.4 の μ Ave.の方が大きくなっており,これも μ 60, BPN と同様の傾向である. ただし,全体的に捉えた場合, μ 60 や BPN と相関があるとは一概には言えず,ハンディーラブテスターの適用条件, μ Ave.の評価方法には更なる検討が必要である.次に,酸処理前後の結果では,全て酸処理後の μ Ave.が大きく

表-2 ガラス面の測定結果

ガラス種類	試験機	試験条件	測定値		
カノク性短			乾燥状態	湿潤状態	差(乾-湿)
	ハンディー ラブテスター	触覚接触子	1.209	0.268	0.941
通常ガラス		ゴム接触子	1.940	0.349	1.591
囲币ルノヘ	DFT	μ60	0.46	0.03	0.43
	PSRT	-	102	17	85
	ハンディー	触覚接触子	0.424	0.567	-0.143
すりガラス	ラブテスター	ゴム接触子	0.766	0.815	-0.049
9 9 20 7 7	DFT	μ60	1.17	0.04	1.13
	PSRT	-	91	60	31



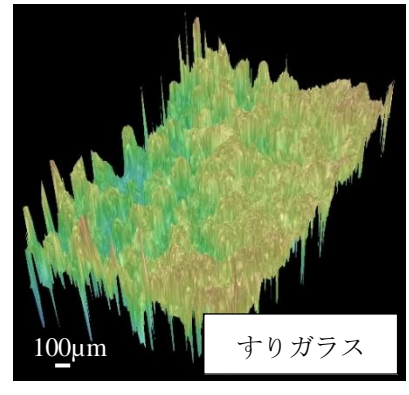


写真-4 ガラス面の表面形状

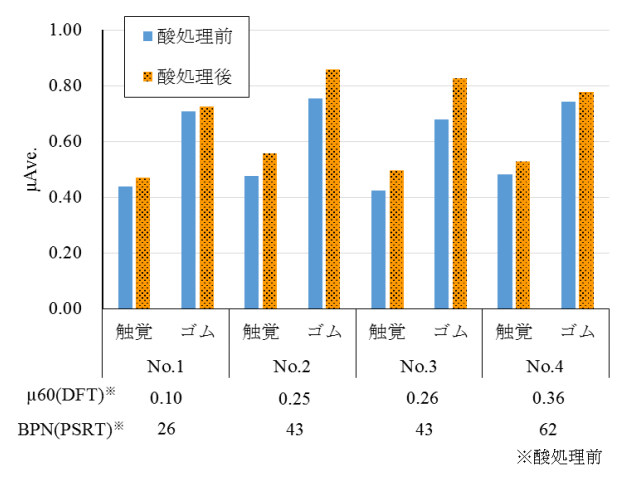


図-1 コンクリートコアによる試験結果

なっており、既往の文献 2 と同様の傾向が得られた。よって、本測定機はすべり抵抗性に影響を及ぼす表面形状の微細な変化を相対的に評価することができる可能性がある。

4. まとめ

本研究においてハンディーラブテスターの適用性を検討した結果,ガラス面における微細な凹凸形状の変化により既存の試験との相関性に変化が出る可能性があることが示唆された。また,コンクリートコアによる試験では,室内試験においてコアレベルでのすべり抵抗性の変化を相対的に評価できる可能性を示した。今後は,本測定機から得られる µAve.の適用条件や評価方法について更に検討を継続する必要がある。

【参考文献】1)中村ほか:コンクリート舗装のすべり抵抗回復工法に関する研究,土木学会論文集 E1 (舗装工学), Vol.70, No.3, I_197-I_204, 2014, 2)高橋ほか:コンクリート舗装のすべり抵抗性に及ぼす配合条件の影響およびすべり抵抗性回復技術の検討,第70回たり技術大会,p196-197,2016.